

РЕЛЯТИВИСТСКАЯ ВЕРСИЯ МЕТОДА МНИМОГО ВРЕМЕНИ

В. Д. Мур, Б. М. Карнаков*

Московский инженерно-физический институт
115409, Москва, Россия

В. С. Попов

Институт теоретической и экспериментальной физики
117218, Москва, Россия

Поступила в редакцию 23 февраля 1998 г.

Развита релятивистская версия квазиклассического метода мнимого времени (ММВ), что позволяет вычислять вероятность туннелирования релятивистских частиц через потенциальные барьеры, в том числе не обладающие сферической симметрией. Применение ММВ к конкретным задачам требует нахождения подбарьерных траекторий, являющихся решениями классических уравнений движения, но с мнимым временем (и потому нереализуемых в классической механике). С помощью ММВ рассчитана вероятность ионизации s -уровня, энергия связи которого может быть порядка энергии покоя, под действием электрического и магнитного полей различной конфигурации. Помимо экспоненциального множителя вычислены кулоновский и предэкспоненциальный факторы в вероятности ионизации. Кратко изложен гамильтонов подход к проблеме туннелирования релятивистских частиц. Рассмотрение процесса ионизации тяжелых атомов электрическим полем дает дополнительный аргумент против существования «эффекта Унру».

1. Метод мнимого времени (ММВ) был предложен [1, 2] в связи с расчетом вероятности многофотонной ионизации атомов полем сильной световой волны. Для описания процесса туннелирования вводятся подбарьерные траектории, удовлетворяющие классическим уравнениям движения, но с мнимым «временем» t . Мнимая часть функции действия, вычисленная вдоль такой «классической» траектории, определяет вероятность туннелирования частицы в квантовой механике [1–3].

Недавно с помощью ММВ исследовались влияние магнитного поля на ионизацию атомов и ионов [4–6], а также процесс лоренцевой ионизации [7], возникающей при движении атомов в постоянном магнитном поле. При этом подбарьерное движение электрона считалось нерелятивистским, что выполняется для валентных электронов во всех атомах, от водорода до урана. Однако в случае ионизации K -оболочки в тяжелых атомах становятся существенными релятивистские эффекты, последовательный учет которых (в квазиклассическом приближении) требует обобщения ММВ на релятивистский случай, что может оказаться полезным также в ряде вопросов релятивистской ядерной физики и квантовой хромодинамики.

Мы продемонстрируем возможность такого обобщения на конкретной задаче об ионизации связанного состояния, энергия связи которого $E_b = mc^2 - E_0$ сравнима с энергией покоя mc^2 , и найдем главный (экспоненциальный) фактор в вероятности

*E-mail: karnak@theor.mephi.msk.su

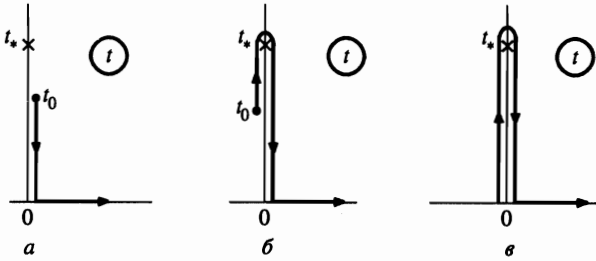


Рис. 1. Изменение мнимого времени t в подбарьерном движении: а) энергия уровня $E_0 > 0$; б) $0 > E_0 > -m$; в) $E_0 = -m$ (уровень на границе нижнего континуума). Звездочкой отмечена точка ветвления функции $\sqrt{p(t)^2 + m^2}$

ионизации. Будут рассмотрены также учет кулоновского взаимодействия в процессе туннелирования и вычисление предэкспоненциального множителя.

Статья построена следующим образом. В пп. 2–5 рассмотрены случаи чисто электрического поля, параллельных и взаимно перпендикулярных полей \mathcal{E} и \mathcal{H} (при этом потенциал, связывающий электрон с атомным остовом, предполагается короткодействующим). Пункт 4 посвящен особому случаю — скрещенным полям, т. е. $\mathcal{E} \perp \mathcal{H}$ и $\mathcal{E} = \mathcal{H}$. На этих примерах мы излагаем процедуру определения экстремальной подбарьерной траектории, определяющей наиболее вероятный путь туннелирования частицы и тем самым экспоненциальный множитель в вероятности ионизации. Рассмотрение пучка подбарьерных траекторий, близких к экстремальной, позволяет найти также и предэкспоненту. В п. 6 описан способ учета (в рамках ММВ) кулоновского взаимодействия между вылетающим электроном и атомным остовом. Введение кулоновской поправки позволяет рассмотреть практически важный случай ионизации нейтральных атомов и положительных ионов. В п. 7 обсуждается вопрос о ширине барьера и условиях применимости ММВ. В п. 8 кратко описан гамильтонов подход к проблеме туннелирования релятивистских частиц. В п. 9 решение задачи об ионизации используется при обсуждении эффекта Унру [8]; высказаны некоторые замечания, дополняющие изложенную ранее [9] аргументацию того, что отклик равноускоренного детектора не универсален, а зависит от его структуры. В заключительном п. 10 перечислены основные выводы работы, а детали вычислений и некоторые громоздкие формулы вынесены в Приложения А–С.

Далее $\hbar = c = 1$, однако в окончательных формулах мы восстанавливаем размерности входящих в них величин. Часть результатов данной работы анонсирована в [10].

2. Начнем с ионизации s -уровня, связанного короткодействующими силами, под действием электрического поля \mathcal{E} . В этом случае подбарьерные траектории имеют вид

$$x = \frac{ip_{\perp}}{e\mathcal{E}}(\arcsin \tau_0 - \arcsin \tau), \quad y = 0, \quad z = \frac{M}{e\mathcal{E}} \left(\sqrt{1 - \tau^2} - \sqrt{1 - \tau_0^2} \right), \quad (1)$$

причем $p_x(t) = p_{\perp} = \text{const}$, $p_z(t) = e\mathcal{E}t = -iM\tau$. Здесь $\tau = ie\mathcal{E}t/M$ (τ — вещественная величина, связанная с собственным временем s соотношением $s = -i(m/e\mathcal{E}) \arcsin \tau$), $M = \sqrt{m^2 + p_{\perp}^2}$, ось z направлена вдоль \mathcal{E} , p_{\perp} — поперечный импульс частицы. Начальный момент t_0 подбарьерного движения определяется из граничных условий [2]

$$\mathbf{r}(t_0) = 0, \quad \frac{m}{\sqrt{1 - \dot{\mathbf{r}}^2(t_0)}} = E_0, \quad \text{Im } \mathbf{r}(0) = \text{Im } \dot{\mathbf{r}}(0) = 0 \quad (2)$$

(в калибровке, где $\varphi(0, t) = 0$, $A(0, t) = 0$, и в приближении нулевого радиуса сил, связывающих уровень), откуда

$$t_0 = \frac{im}{e\mathcal{E}} \sqrt{1 - \epsilon_0^2 + q^2}, \quad q = p_{\perp}/m. \quad (3)$$

Здесь $E_0 = m\epsilon_0$ — энергия связанного состояния ($-1 \leq \epsilon_0 < 1$, значения $\epsilon_0 = \pm 1$ отвечают границам верхнего и нижнего континуумов). Вероятность туннелирования электрона вдоль траектории (1) равна [2]

$$dw(p_{\perp}) = \frac{\text{const}}{\hbar m} \exp \left\{ -\frac{2}{\hbar} \text{Im} W(p_{\perp}) \right\} d^2 p_{\perp}, \quad (4)$$

где W — укороченное действие:

$$W = \int_{t_0}^0 (L + E_0) dt - (pr)_{t=0}, \quad L = -m\sqrt{1 - v^2} + e(Av) - e\varphi \quad (4')$$

($t = 0$ — момент выхода частицы из-под барьера). При углублении уровня точка t_0 движется в комплексной плоскости, огибая точку ветвления t_* , как показано на рис. 1. С учетом этого

$$\tau_0 = \sqrt{1 - \epsilon_0^2} + \frac{\epsilon_0^2 q^2}{2\sqrt{1 - \epsilon_0^2}} + \dots, \quad (5)$$

$$W = \frac{im^2}{2e\mathcal{E}} \left[(1+q^2) \arccos \frac{\epsilon_0}{\sqrt{1+q^2}} - \epsilon_0 \sqrt{1 - \epsilon_0^2 + q^2} \right] = \frac{im^2}{2e\mathcal{E}} \left[\Phi(\epsilon_0) + q^2 \arccos \epsilon_0 + O(q^4) \right],$$

где $\Phi(\epsilon) = \arccos \epsilon - \epsilon\sqrt{1 - \epsilon^2}$. Отметим, что $\Phi(-\epsilon) = \pi - \Phi(\epsilon)$ и

$$\Phi(\epsilon) = \begin{cases} \frac{2^{5/2}}{3} (1 - \epsilon)^{3/2} \left[1 - \frac{3}{20} (1 - \epsilon) + \dots \right], & \epsilon \rightarrow 1, \\ \frac{\pi}{2} - 2\epsilon + \frac{1}{3} \epsilon^3 + \dots, & \epsilon \rightarrow 0, \\ \pi - \frac{2^{5/2}}{3} (1 + \epsilon)^{3/2} + \dots, & \epsilon \rightarrow -1. \end{cases} \quad (5')$$

Интегрируя (4), (5) по поперечному импульсу, находим вероятность (в единицу времени) ионизации s -уровня в электрическом поле:

$$w(\mathcal{E}, \epsilon_0) = \frac{mc^2}{2\hbar} |A_{\kappa}|^2 \frac{\mathcal{E}/F_{cr}}{\arccos \epsilon_0} \exp \left\{ -\frac{F_{cr}}{\mathcal{E}} \Phi(\epsilon_0) \right\}, \quad (6)$$

где A_{κ} — асимптотический (при $r \rightarrow \infty$) коэффициент волновой функции связанного состояния в отсутствие внешнего поля \mathcal{E} (ср. с формулой (9) в [4]), а $F_{cr} = m^2 c^3 / e\hbar$ — критическое, или швингеровское поле, характерное для квантовой электродинамики [11, 12].

В нерелятивистском пределе ($\epsilon_0 \rightarrow 1$) эта формула переходит в известное выражение [13, 14] для вероятности ионизации отрицательных ионов (H^{-} , Na^{-} и т.д.). При

$\epsilon_0 = -1$, т.е. для уровня, опустившегося до границы нижнего континуума (критический заряд ядра $Z_{cr}(1s_{1/2}) = 173$ [15–18]), экспоненциальный множитель в (6) становится равным $\exp(-\pi F_{cr}/\mathcal{E})$ и совпадает с соответствующим множителем в формуле Швингера [11] для вероятности рождения электрон-позитронных пар из вакуума в постоянном электрическом поле.

3. Если поля \mathcal{E} и \mathcal{H} параллельны, то траектория релятивистской частицы представляет собой спираль переменного шага. Подбарьерная траектория получается из известных формул [19] с помощью аналитического продолжения по t :

$$z = \frac{M}{e\mathcal{E}} \left(\sqrt{1 - \tau^2} - \sqrt{1 - \tau_0^2} \right), \quad \rho = x + iy = \frac{i p_{\perp}}{e\mathcal{H}} (e^{-i\vartheta} - e^{-i\vartheta_0}),$$

$$\tau = i \frac{e\mathcal{E}t}{M} = i \operatorname{sh} \left(\frac{\mathcal{E}}{\mathcal{H}} \vartheta \right), \quad M = \sqrt{m^2 + p_{\perp}^2} \quad (7)$$

(поля \mathcal{E} и \mathcal{H} направлены по оси z), причем t и ϑ в подбарьерном движении являются мнимыми величинами, а τ — вещественной. Для скалярной (бесспиновой) частицы действие S равно

$$S(t) = \int^t \left(-m\sqrt{1 - v^2} + \frac{1}{2} e\mathcal{H}(xy - yx) + e\mathcal{E}z \right) dt =$$

$$= \frac{M^2}{4e\mathcal{E}} \operatorname{sh} 2\psi - \frac{m^2}{2e\mathcal{E}} \psi + \frac{p_{\perp}^2}{2e\mathcal{H}} \sin \vartheta + \operatorname{const}, \quad \vartheta = \frac{e\mathcal{H}}{m} s, \quad \psi = \frac{e\mathcal{E}}{m} s, \quad (8)$$

где s — собственное время частицы (чисто мнимое). В итоге получаем¹⁾

$$\operatorname{Im} W(p_{\perp}) = \frac{m^2}{2e\mathcal{E}} \Phi(\epsilon_0) + \operatorname{sh} \left(\frac{\mathcal{H}}{\mathcal{E}} \arccos \epsilon_0 \right) \frac{p_{\perp}^2}{2e\mathcal{H}} + \dots \quad (9)$$

(при $\mathcal{H} = 0$ эта формула переходит в (5)). Интегрируя (4), (9) по p_{\perp} , получаем

$$\frac{w(\mathcal{E}, \mathcal{H})}{w(\mathcal{E}, 0)} = \frac{\sigma}{\operatorname{sh} \sigma}, \quad \sigma = \frac{\mathcal{H}}{\mathcal{E}} \arccos \epsilon_0. \quad (10)$$

Для нерелятивистских связанных состояний $\epsilon_0 = 1 - \alpha^2 \kappa^2 / 2 \rightarrow 1$ ($\alpha = e^2 / \hbar c = 1/137$, параметр $\kappa \sim 1$, см. табл. 1 в [6]) и $\arccos \epsilon_0 = \alpha \kappa + (\alpha \kappa)^3 / 24 + \dots$. Поэтому $\sigma = \alpha \kappa \mathcal{H} / \mathcal{E}$ совпадает с введенным в [4] параметром γ , а из (10) следует правильное выражение для предэкспоненты $P_0(\gamma) = \gamma / \operatorname{sh} \gamma$ в случае ионизации отрицательного иона [5, 20]. В другом пределе, $\epsilon_0 = -1$, имеем $\sigma = \pi \mathcal{H} / \mathcal{E}$, и (10) согласуется с первым членом швингеровского разложения [11] для мнимой части эффективной функции Лагранжа в скалярной электродинамике:

$$w_0(\mathcal{E}, \mathcal{H}) = \frac{\alpha}{2\pi} \frac{\mathcal{E}\mathcal{H}}{\operatorname{sh}(\pi \mathcal{H} / \mathcal{E})} \exp \left(-\frac{\pi F_{cr}}{\mathcal{E}} \right) \quad (11)$$

¹⁾ При интегрировании в (4') удобно перейти к переменным ϑ и ψ , учитывая соотношения $dt/m\sqrt{1 - v^2} = d\vartheta/e\mathcal{H} = d\psi/e\mathcal{E}$.

(при условии²⁾ $\mathcal{E}, \mathcal{H} \ll F_{cr}$ следующие члены этого разложения экспоненциально малы по сравнению с (11)).

ММВ позволяет получить формулу типа (9) также и для фермионов: нужно лишь ввести спиновую добавку

$$\frac{ie}{2m} \epsilon_{\alpha\beta\mu\nu} \int F^{\alpha\beta} u^\mu s^\nu ds = \frac{e}{m} \int \{(\mathbf{s}\mathcal{H}) - (\mathbf{v}\mathbf{s})(\mathbf{v}\mathcal{H}) + [\mathbf{v}\mathbf{s}]\mathcal{E}\} dt \quad (12)$$

к функции действия, вклад которой (при изменении t вдоль петли на рис. 1е) рассчитывается с помощью уравнений Баргмана–Мишеля–Телегди [21] для 4-спина s^ν во внешнем поле. В итоге для $w_s(\mathcal{E}, \mathcal{H})$ можно получить [22] формулу типа (11), в которой предэкспоненциальный множитель $(\text{sh } \sigma)^{-1}$, где $\sigma = \pi \mathcal{H} / \mathcal{E}$, следует заменить на $2 \text{cth } \sigma$ в случае электронов ($s = 1/2, g = 2$) и на $(\text{sh } \sigma)^{-1} + 2 \text{cth } \sigma$ для векторных бозонов ($s = 1$) с гиромагнитным отношением $g = 2$ — тот случай, когда теория является перенормируемой [23].

В специальном случае постоянных и однородных полей \mathcal{E} и \mathcal{H} можно учесть все (экспоненциально малые) поправки к (11), вводя подбарьерные траектории, отвечающие n -кратному блужданию частицы между нижним и верхним континуумами [24]. Таким путем квазиклассический ММВ позволяет получить не только главный член (11) в вероятности рождения пар, но и в точности восстановить весь ряд для $w = 2 \text{Im } \mathcal{L}$, вычисленный ранее (более сложным способом) Швингером [11] для скалярных и спинорных частиц, а Ваняшиным и Герентьевым [23] для векторных бозонов. Такое совпадение результатов носит, однако, случайный характер и аналогично совпадению точного и квазиклассического спектров уравнения Шредингера для некоторых простых потенциалов: гармонический осциллятор, кулоновский потенциал, потенциал Морзе $U(x) = U_0(e^{-2x} - 2e^{-x})$ и др.

В заключение этого пункта отметим различие между (6) и (11). В случае электрического поля и $\epsilon_0 = -1$ ($\mathcal{H} = 0$, уровень на краю нижнего континуума) эти формулы, полностью совпадая в экспоненциальном множителе, определяемом значением $\text{Im } S$ вдоль экстремальной ($p_\perp = 0$) траектории, различаются зависимостью предэкспоненты от электрического поля: согласно (6), $P(\mathcal{E}) \propto \mathcal{E}$, в то время как для (11) $P(\mathcal{E}) \propto \mathcal{E}^2$. Это и неудивительно, поскольку (6) и (11) относятся к различным физическим процессам и имеют разную размерность: вероятность (11) относится к инвариантному 4-объему вакуума $VT = 1$ и имеет размерность m^4 (или $\text{см}^{-3} \cdot \text{с}^{-1}$), а (6) — к отдельному атому и имеет размерность с^{-1} .

4. Скрещенные поля. Переходим к более сложным случаям, когда экстремальная траектория уже не является одномерной. Пусть $\mathcal{E} \perp \mathcal{H}$; калибровка

$$\mathbf{A} = (-\mathcal{H}y, 0, 0), \quad \varphi = -\mathcal{E}y \quad (13)$$

соответствует тому, что ось y направлена вдоль поля \mathcal{E} , а ось z — вдоль \mathcal{H} . Для скрещенных ($\mathcal{E} = \mathcal{H}$) полей классические траектории задаются в параметрической форме [19]:

$$x = \frac{m}{2e\mathcal{E}} \left[(\lambda^2 - 1)q + \frac{1}{3}\lambda^2 q^3 \right] + C_1, \quad y = \frac{m}{2e\mathcal{E}} \lambda q^2 + C_2, \quad z = \frac{1}{e\mathcal{E}} \lambda q p_z + C_3,$$

²⁾ Это условие необходимо для применимости квазиклассики и заведомо выполняется на опыте (для электронов $F_{cr} = 1.32 \cdot 10^{16}$ В/см, или $4.41 \cdot 10^{13}$ Гс).

$$t = \frac{m}{2e\mathcal{E}} \left[(\lambda^2 + 1)q + \frac{1}{3}\lambda^2 q^3 \right],$$

где $q = p_y/m$ — параметр, $\lambda = m/(\sqrt{p^2 + m^2} - p_x)$ — (безразмерный) интеграл движения, связанный с указанным в [19] интегралом $\alpha = E_{kin} - p_x$ соотношением $\lambda = m\alpha^{-1}$. В подбарьерном движении «время» t и компонента импульса p_y являются чисто мнимыми:

$$t = -\frac{im}{e\mathcal{E}} \tau, \quad q = i\lambda^{-1}u \quad (14)$$

($-\tau_0 < \tau < 0$). Используя граничные условия (2), находим константы интегрирования C_i и определяем экстремальную подбарьерную траекторию:

$$\begin{aligned} x &= \frac{im}{2e\mathcal{E}\lambda} \left[(\lambda^2 - 1)u - \frac{1}{3}u^3 \right] = \frac{im}{6e\mathcal{E}\lambda} (u_0^2 - u^2)u, \\ y &= \frac{m}{2e\mathcal{E}\lambda} (u_0^2 - u^2), \quad z = 0, \quad \tau = \frac{1}{2\lambda} \left[\frac{1}{3}u^3 - (\lambda^2 + 1)u \right], \end{aligned} \quad (15)$$

откуда

$$r_0(t) \equiv \sqrt{x^2 + y^2 + z^2} = \frac{m}{2e\mathcal{E}\lambda} (u_0^2 - u^2) \sqrt{1 - \frac{u^2}{9}}, \quad \sqrt{1 - v^2} = \frac{2\lambda}{\lambda^2 + 1 - u^2}, \quad (15')$$

где $u_0 \equiv u(-\tau_0)$, значение $\tau = -\tau_0$ соответствует началу подбарьерного движения, а $\tau = u = 0$ — моменту выхода частицы из-под барьера. В подбарьерном движении компонента скорости v_x — вещественная, а v_y (вдоль электрического поля) — чисто мнимая. Граничные условия (2) удовлетворяются, если

$$(\lambda^2 - 1)u_0 - \frac{1}{3}u_0^3 = 0, \quad \lambda + (1 - u_0^2)\lambda^{-1} = 2\epsilon_0.$$

Отсюда следует, что u_0 , τ_0 и λ однозначно определяются энергией связанного состояния: $u_0 = \sqrt{1 + \xi^2}$, $\tau_0 = \sqrt{3} \xi$,

$$\xi = \sqrt{\lambda^2 - 1} = \sqrt{1 - \frac{1}{2}\epsilon_0 \left(\sqrt{\epsilon_0^2 + 8} - \epsilon_0 \right)}. \quad (16)$$

Здесь мы ввели удобный для дальнейшего параметр ξ , причем $0 < \xi \leq \sqrt{3}$.

Уравнения (14)–(16) полностью определяют экстремальную траекторию. Отметим, что параметр u пропорционален собственному времени частицы s :

$$s = \int^t \sqrt{1 - v^2} dt = \frac{im}{e\mathcal{E}} u,$$

которое, как и t , является мнимым на подбарьерном участке траектории. В частности, в начальный момент³⁾ имеем

$$t_0 = \frac{s_0}{\sqrt{1 + \xi^2}} = \frac{im}{e\mathcal{E}} \sqrt{\frac{3\xi^2}{1 + \xi^2}}$$

Переходя в (4') к интегрированию по u и используя калибровку (13), имеем

$$L = m(\epsilon_0 - \sqrt{1 - v^2}) + e\mathcal{E}(1 - \dot{x})y = -\frac{m}{\sqrt{1 + \xi^2}} \frac{\xi^4 - (\xi^2 - 2)u^2}{\xi^2 + 2 - u^2}$$

и находим (с экспоненциальной точностью) вероятность ионизации в скрещенных полях:

$$w(\mathcal{E} = \mathcal{H}, \epsilon_0) \propto \exp(-2 \operatorname{Im} W) = \exp\left(-2\sqrt{3} \frac{\xi^3}{1 + \xi^2} \frac{F_{cr}}{\mathcal{E}}\right). \quad (17)$$

В нерелятивистском пределе

$$\xi = \frac{1}{\sqrt{3}} \alpha \kappa \left(1 + \frac{7}{72} \alpha^2 \kappa^2 + \dots\right)$$

и

$$w \propto \exp\left\{-\frac{2}{3\epsilon} \left(1 - \frac{1}{24} \alpha^2 \kappa^2\right)\right\}, \quad \epsilon \ll 1, \quad (18)$$

где $\epsilon = \mathcal{E}/\kappa^3 \mathcal{E}_a$ и $\mathcal{E}_a = \alpha^3 F_{cr}$. Поправка порядка α^2 слегка увеличивает вероятность ионизации по сравнению с соответствующей нерелятивистской формулой [13]. Множитель $2\sqrt{3}\xi^3/(1 + \xi^2)$ в экспоненте (17) монотонно увеличивается при углублении уровня (так, он равен $\sqrt{3}$ и $9/2$ при $\epsilon_0 = 0$ и -1), что приводит к резкому падению вероятности w .

В заключение этого пункта сделаем несколько замечаний.

1) Как известно, вероятность рождения пар из вакуума в скрещенных полях обращается в нуль. Это следует как из точного выражения для $\operatorname{Im} \mathcal{L}$ [11, 12], так и из следующего простого рассуждения. При переходе в систему отсчета K , движущуюся со скоростью V в направлении, перпендикулярном к \mathcal{E} и \mathcal{H} , напряженности скрещенных полей уменьшаются в $\sqrt{(c + V)/(c - V)}$ раз и при $V \rightarrow c$ могут быть сделаны чрезвычайно малыми. А в сколь угодно слабом электрическом поле пары, очевидно, не рождаются.

В нашем случае вероятность w отлична от нуля: согласно (17), $w \propto \exp(-9F_{cr}/2\mathcal{E})$ при $\epsilon_0 = -1$. Это различие объясняется тем, что имеется выделенная система отсчета K_0 (в которой атом покоится), и переход из K_0 в лоренцеву систему K качественно меняет постановку задачи (в отличие от вакуума, который лоренц-инвариантен).

2) Как видно из (18), релятивистская подбарьерная траектория привела к ответу, мало отличающемуся от результата нерелятивистской теории, если $E_0 \approx m$ (или $\kappa \sim 1$).

³⁾ Обратим внимание на то, что здесь, в отличие от классических траекторий, $|t_0| < |s_0|$; это отвечает мнимым скоростям в подбарьерном движении.

Между тем движение заряженных частиц в скрещенных полях всегда является релятивистским [19], так как скорость дрейфа $v_d = c\mathcal{E}/\mathcal{H} \rightarrow c$. Этот кажущийся парадокс разъясняется тем, что электрон разгоняется до скорости порядка скорости света уже после выхода из-под барьера:

$$\frac{p_x}{mc} \approx k_1 \left(\frac{t}{T_0} \right)^{2/3}, \quad \frac{p_y}{mc} \approx k_2 \left(\frac{t}{T_0} \right)^{1/3}, \quad \frac{v}{c} = 1 - k_3 \left(\frac{t}{T_0} \right)^{-4/3}, \quad t \rightarrow \infty,$$

где $T_0 = mc/e\mathcal{E}$ — время, за которое электрон достигает скорости $v \sim c$, а k_i — коэффициенты порядка единицы. С другой стороны, характерное время туннелирования $T_t = me\kappa/\hbar\mathcal{E}$, поэтому $T_0/T_t = (\alpha\kappa)^{-1} \gg 1$.

3) В отличие от одномерной квазиклассики, точка выхода из-под барьера не является точкой остановки частицы (даже для экстремальной траектории). Так, из (15) при $t = 0$ получаем

$$v_x(0) = c \frac{\xi^2}{\xi^2 + 2}, \quad p_x(0) = mc \frac{\xi^2}{2\sqrt{\xi^2 + 1}}, \quad (19)$$

причем скорость вылета направлена перпендикулярно полям \mathcal{E} и \mathcal{H} .

5. Пусть $\mathcal{E} \perp \mathcal{H}$, но отношение $\rho = \mathcal{E}/\mathcal{H}$ не равно единице. Такая конфигурация полей возникает, в частности, в системе покоя атома или иона, движущегося в постоянном магнитном поле (так называемая лоренцева ионизация, см., например [7, 25]; при этом $\rho < 1$).

Классические траектории могут быть получены с помощью преобразования Лоренца из системы отсчета, в которой имеется только одно из полей, \mathcal{H} или \mathcal{E} [26, 27]. Так, при $\mathcal{E} < \mathcal{H}$ экстремальная подбарьерная траектория имеет вид

$$\begin{aligned} x &= i \frac{m}{e\mathcal{H}} \frac{a\rho}{(1-\rho^2)^{3/2}} \left(\tau - \frac{\tau_0}{\text{sh } \tau_0} \text{sh } \tau \right), \\ y &= \frac{m}{e\mathcal{H}} \frac{a\rho}{1-\rho^2} \left(\text{ch } \tau_0 - \text{ch } \tau \right) \frac{\tau_0}{\text{sh } \tau_0}, \quad z = 0, \\ \omega_c t &= i \frac{a}{(1-\rho^2)^{3/2}} \left(\tau - \rho^2 \frac{\tau_0}{\text{sh } \tau_0} \text{sh } \tau \right), \quad -\tau_0 < \tau < 0, \end{aligned} \quad (20)$$

где $\omega_c = e\mathcal{H}/m$ — циклотронная, или ларморовская частота, $a = (\sqrt{p^2 + m^2} - \rho p_x)/m$ — интеграл движения⁴⁾. Из (2) вытекают уравнения для определения констант a и τ_0 :

$$\frac{\text{th } \tau_0}{\tau_0} = \frac{\rho^2 a}{a - (1 - \rho^2)\epsilon_0}, \quad \text{ch } \tau_0 = \frac{a - (1 - \rho^2)\epsilon_0}{\rho\sqrt{a^2 + \rho^2 - 1}} \quad (21)$$

(здесь $0 < \rho < 1$, $a > \sqrt{1 - \rho^2}$), причем собственное время частицы равно

⁴⁾ Наличие этого интеграла характерно для случая взаимно перпендикулярных полей. При $\rho = 1$ он совпадает с указанным в [19] интегралом $\alpha = E_{kin} - cp_x$.

$$s = \int_0^t \sqrt{1 - v^2} dt = \frac{i}{\omega_c} \frac{a}{1 - \rho^2} \sqrt{1 - \rho^2 \left(\frac{\tau_0}{\text{sh } \tau_0} \right)^2} \tau. \quad (22)$$

В начальный момент подбарьерного движения

$$s_0 = t_0 \sqrt{\frac{1 - \rho^2 (\tau_0 / \text{sh } \tau_0)^2}{1 - \rho^2}},$$

так что $|s_0| > |t_0|$, как и в предыдущем случае. Система (21) может быть сведена к одному уравнению:

$$\frac{1 - \rho^2 \tau_0 \text{cth } \tau_0}{\sqrt{1 - \rho^2 (\tau_0 / \text{sh } \tau_0)^2}} = \sqrt{1 - \rho^2} \epsilon_0, \quad (23)$$

определяющему параметр $\tau_0 = \tau_0(\epsilon_0, \rho)$. В калибровке (13) лагранжиан

$$L = -m \sqrt{1 - v^2} + e \mathcal{E} (1 - \rho^{-1} \dot{x}) y.$$

Из (4') и (20) находим (с экспоненциальной точностью) вероятность ионизации:

$$w \propto \exp \left\{ -F_{cr} \mathcal{E}^{-1} \Phi(\epsilon_0, \rho) \right\}, \quad (24)$$

где

$$\Phi = \frac{\rho \tau_0 (1 - a \epsilon_0)}{\sqrt{1 - \rho^2}} = \frac{\rho \tau_0}{\sqrt{1 - \rho^2}} \left[1 - \frac{(1 - \rho^2) \epsilon_0^2}{1 - \rho^2 \tau_0 \text{cth } \tau_0} \right] \quad (25)$$

(при $\rho = 1$, т. е. в случае скрещенных полей, удобнее пользоваться формулами (17), (16) из предыдущего пункта).

Уравнения (23)–(25) решают поставленную задачу. Обсудим некоторые предельные случаи и результаты численных расчетов.

а) Как видно из рис. 2, значения $\Phi(\epsilon_0, \rho)$ увеличиваются как при углублении уровня, так и с ростом магнитного поля (при фиксированном \mathcal{E}). Последний факт легко объясняется в рамках ММВ: при $\mathcal{H} = 0$ экстремальная траектория одномерна (и направлена вдоль \mathcal{E}), а с ростом \mathcal{H} она «закручивается», а ширина барьера возрастает (см. ниже п. 7).

б) В нерелятивистском пределе $\epsilon_0 \rightarrow 1$ удобно перейти к атомным единицам:

$$\Gamma = \hbar w = \frac{m e^4 \kappa^2}{2 \hbar^2} |A_\kappa|^2 \frac{\mathcal{E}}{\mathcal{E}_a} \exp \left\{ -\frac{2 \kappa^3 \mathcal{E}_a}{3 \mathcal{E}} \left[g(\gamma) - \alpha^2 \kappa^2 g_1(\gamma) + O(\alpha^4) \right] \right\}, \quad (26)$$

где $\gamma = \omega_c / \omega_t = \alpha \kappa \mathcal{H} / \mathcal{E}$, Γ — ширина уровня, w — вероятность ионизации, $\mathcal{E}_a = \alpha^3 F_{cr} = 5.14 \cdot 10^9$ В/см — атомная единица напряженности электрического поля, $\kappa = \sqrt{E_b / I_H}$, (см. также формулу (В.1)), E_b — энергия связи уровня, I_H — потенциал ионизации атома водорода,

$$g(\gamma) = \frac{3 \tau_0}{2 \gamma} \left[1 - \frac{\sqrt{\tau_0^2 - \gamma^2}}{\gamma^2} \right] = \frac{1}{\gamma^3} \sum_{k=1}^{\infty} c_k \tau_0^{2k+1}, \quad c_k = 3 \cdot 2^{2k-1} \frac{B_{2k}}{(2k-1)!} \quad (27)$$

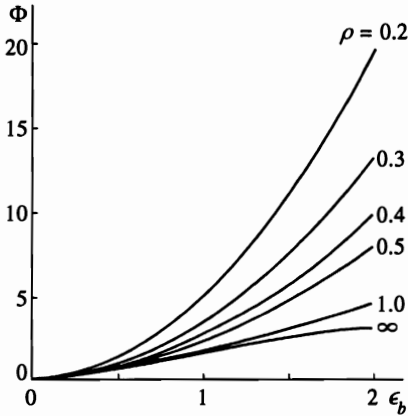


Рис. 2

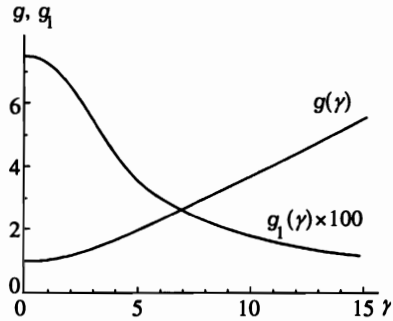


Рис. 3

Рис. 2. Функция $\Phi(\epsilon_0, \rho)$, определяющая экспоненциальный множитель в вероятности ионизации (24), в зависимости от энергии связи уровня $\epsilon_b = (m - E_0)/m$, $0 < \epsilon_b < 2$. У кривых указаны значения отношения $\rho = \mathcal{E}/\mathcal{H}$

Рис. 3. Функции $g(\gamma)$ и $g_1(\gamma)$ из (26). Для g_1 масштаб по оси ординат увеличен в 100 раз

($c_1 = 1$, $c_2 = -2/15$, $c_3 = 2/105$ и т. д., B_{2k} — числа Бернулли), $\tau_0 = \tau_0(\gamma)$ определяется из уравнения

$$\text{th } \tau_0 = \frac{\tau_0}{1 + \sqrt{\tau_0^2 - \gamma^2}}, \tag{28}$$

а выражение для $g_1(\gamma)$ довольно громоздко и вынесено в Приложение А. Всегда $g_1(\gamma) \ll \ll g(\gamma)$, например, $g(0) = 1$, $g_1(0) = 3/40$. С ростом γ , т. е. с увеличением магнитного поля, относительная величина релятивистской поправки только уменьшается (рис. 3).

в) Если $\rho \gg \alpha = 1/137$, т. е. электрическое поле не очень мало, то $\gamma \ll 1$ и выражение (26) упрощается:

$$w \propto \frac{\mathcal{E}}{\mathcal{E}_a} \exp \left\{ -\frac{2\kappa^3 \mathcal{E}_a}{3\mathcal{E}} \left[1 + \frac{\alpha^2 \kappa^2}{30\mathcal{E}^2} \left(\mathcal{H}^2 - \frac{9}{4} \mathcal{E}^2 \right) \right] \right\}. \tag{29}$$

Это простое приближение имеет удивительно хорошую точность даже для глубоких уровней (но, разумеется, не при $\epsilon_0 \approx -1$). Так, при $\epsilon_0 = 0$ (т. е. для уровня, энергия связи которого равна mc^2 и $\epsilon_b = 1$) отличие в показателе экспоненты (29) от точной функции $\Phi(0, \rho)$ из (24) составляет 2% в случае чисто электрического поля, и всего лишь 0.2% для скрещенных полей (см. подробнее табл. 1, а также Приложение В).

г) Предел $\rho \rightarrow 0$ отвечает выключению электрического поля:

$$w \propto \exp \left\{ - \left[(1 - \epsilon_0)^2 \frac{F_{cr} \mathcal{H}}{\mathcal{E}^2} + \frac{1}{2} (1 - \epsilon_0^2) \frac{F_{cr}}{\mathcal{H}} + O \left(\rho^2 \frac{F_{cr}}{\mathcal{H}} \right) \right] \right\} \tag{30}$$

($\mathcal{E} \ll \mathcal{H} \ll F_{cr}$). Зависимость $w \propto \exp(-\text{const}/\mathcal{E}^2)$ показывает, что вероятность ионизации в этом случае чрезвычайно мала.

Таблица 1

Точность приближения (29)

| ϵ_b | $\rho = 0.5$ | 0.75 | 1.0 | ∞ |
|--------------|--------------|-------|---------|----------|
| 0.1 | 0.116 | 0.021 | 1.2(-3) | -0.014 |
| 0.2 | 0.467 | 0.087 | 5.3(-3) | -0.058 |
| 0.25 | 0.729 | 0.137 | 8.5(-3) | -0.092 |
| 0.50 | 2.80 | 0.580 | 0.040 | -0.404 |
| 0.75 | 5.69 | 1.36 | 0.102 | -1.01 |
| 1.0 | 8.76 | 2.49 | 0.206 | -2.04 |
| 1.2 | 11.1 | 3.63 | 0.326 | -3.27 |

Примечание. Приведены значения погрешности δ (в процентах), см. формулу (В.4); $\epsilon_b = E_b/mc^2$, $\rho = \mathcal{E}/\mathcal{H}$ и $a(b) \equiv a \cdot 10^b$.

д) При $\rho \rightarrow 1$ в (20)–(25) возникает неопределенность, раскрывая которую, приходим к формуле (17) для скрещенных полей.

г) Выше мы считали, что $\rho < 1$. Формулы для случая $\mathcal{E} > \mathcal{H}$ легко могут быть получены из предыдущих с помощью аналитического продолжения: $\sqrt{1 - \rho^2} \rightarrow i\sqrt{\rho^2 - 1}$, $\tau \rightarrow i\tau$. При этом «время» t и собственное время s в подбарьерном движении остаются чисто мнимыми.

6. Кулоновская поправка. До сих пор мы пренебрегали кулоновским взаимодействием вылетающего электрона с атомным остовом, поэтому полученные выше формулы относятся к случаю ионизации отрицательных ионов (типа H^- , Na^- и т.д.). Для учета кулоновского взаимодействия используем теорию возмущений в рамках ММВ [4, 28] и процедуру сшивания, вводя точку сшивания r_1 такую, что $\langle r \rangle \ll r_1 \ll b$, где $\langle r \rangle$ — средний размер связанного состояния, b — ширина барьера (в условиях применимости квазиклассического приближения выбор такой точки r_1 всегда возможен, см. следующий пункт). Действуя аналогично [4, 5], получаем кулоновский фактор Q в вероятности ионизации:

$$Q = \exp \left\{ 2 \left[\eta \ln(\mu r_1) + iZ\alpha \int_{t_1}^0 [r_0^2(t)]^{-1/2} dt \right] \right\}, \quad (31)$$

где $\mu = m\sqrt{1 - \epsilon_0^2}$, $\eta = Z\alpha \epsilon_0(1 - \epsilon_0^2)^{-1/2}$ — релятивистский аналог параметра Зоммерфельда, $r_1 = [r_0^2(t_1)]^{1/2}$ — точка сшивания, $r_0(t)$ — экстремальная подбарьерная траектория, t — мнимое время и Z — заряд атомного остова, так что на больших расстояниях от атома, $\langle r \rangle \ll r \lesssim b$, электрон движется в потенциале $V(r) = -Z\alpha/r + o(r^{-2})$ (в свободном атоме, т.е. при $\mathcal{E} = \mathcal{H} = 0$). Заметим, что $Z = 1, 2$ и 0 в случае ионизации соответственно нейтрального атома, однозарядных положительного и отрицательного ионов.

Рассмотрим несколько частных случаев. Для электрического поля \mathcal{E} экстремальная траектория получается из (1) при $p_{\perp} = 0$ и является одномерной. Интеграл в (31) вычисляется аналитически, что дает

$$Q = \left[2(1 - \epsilon_0^2)^{3/2} F_{cr} / \mathcal{E} \right]^{2\eta} \exp(2Z\alpha \arccos \epsilon_0) \tag{32}$$

(подробности вычислений обсуждаются в Приложении С). Кулоновская поправка существенно увеличивает вероятность ионизации. Так, в нерелятивистском случае

$$Q = (2\kappa^3 \mathcal{E}_a / \mathcal{E})^{2Z/\kappa} \gg 1. \tag{33}$$

С ростом энергии связи уровня $E_b = m(1 - \epsilon_0)$ величина этой поправки хотя и уменьшается, однако остается все же значительной; например, $Q = \exp(\pi Z\alpha) \sim 25$ при $E_b = mc^2$.

Перемножая выражения (6) и (32), находим вероятность ионизации w (подчеркнем, что в данном случае, т.е. при наличии только электрического поля, вычислены как экспонента, так и кулоновский и предэкспоненциальный множители, поэтому формула для w является асимптотически точной в пределе слабого поля). В частности, при $\epsilon_0 \approx 1$, используя разложения

$$\epsilon_0 = 1 - \frac{1}{2}\alpha^2\kappa^2, \quad \mu = m\alpha\kappa \left(1 - \frac{3}{8}\alpha^2\kappa^2 + \dots \right), \quad \eta = \eta_0 \left(1 - \frac{3}{8}\alpha^2\kappa^2 + \dots \right)$$

($\eta_0 = Z/\kappa$), имеем с учетом поправок порядка α^2 :

$$w(\mathcal{E}, \epsilon_0) = \frac{me^4\kappa^2}{2\hbar^2} |A_\kappa|^2 \left(\frac{\epsilon}{2} \right)^{1-2\eta_0} \exp \left\{ -\frac{2}{3\epsilon} [1 - \alpha^2\kappa^2(c_0 + c_1\epsilon \ln \epsilon + c_2\epsilon) + \dots] \right\}, \tag{34}$$

где

$$c_0 = \frac{3}{40}, \quad c_1 = \frac{9}{8}\eta_0, \quad c_2 = -\left(3 - \frac{9}{8} \ln 2 \right) \eta_0 + \frac{1}{16}, \quad \epsilon = \mathcal{E} / \kappa^3 \mathcal{E}_a \ll 1.$$

По аналогии с (29) можно ожидать, что область применимости этой «полурелятивистской» формулы затягивается вплоть до $E_b \sim mc^2$.

В случае скрещенных полей интеграл в (31) снова выражается в квадратурах (см. (15') и Приложение С), что позволяет получить кулоновскую поправку в замкнутой форме:

$$Q = \left[\frac{2\xi^3(3 - \xi^2)^2 F_{cr}}{\sqrt{3}(1 + \xi^2) \mathcal{E}} \right]^{2\eta} \exp \left(6Z\alpha \arcsin \frac{\xi}{\sqrt{3}} \right), \tag{35}$$

где $\xi = \xi(\epsilon_0)$ определена в (16). При $\epsilon_0 \rightarrow 1$ это выражение переходит в (33), а при $\epsilon_0 = 0$ получаем $Q = \exp(3.8Z\alpha) \sim 45$. В обоих случаях, (32) и (35), кулоновский фактор $Q \gg 1$ при $\epsilon_0 = 0$.

Наконец, для подбарьерной траектории (21)

$$r_0(t) = \frac{m}{e\mathcal{E}} \frac{a\rho^2\tau_0}{(1 - \rho^2)^{3/2}} \left[(1 - \rho^2) \left(\frac{\text{ch } \tau_0 - \text{ch } \tau}{\text{sh } \tau_0} \right)^2 - \left(\frac{\text{sh } \tau}{\text{sh } \tau_0} - \frac{\tau}{\tau_0} \right)^2 \right]^{1/2}. \tag{36}$$

В этом случае интеграл (31) уже не берется аналитически. Как показано в Приложении С, его можно привести к регуляризованному виду (С.9), не содержащему произвольной точки сшивания, после чего кулоновскую поправку Q нетрудно найти численно.

Рассмотренные примеры показывают, что формула (31) вполне эффективна для вычислений. Отметим, что она аналогична соответствующей формуле нерелятивистской теории (см. уравнения (6)–(8) в [4]). Это связано с тем, что кулоновское взаимодействие $\delta V(r) = -Z\alpha/r$ является временной компонентой 4-потенциала A_μ и входит в лагранжиан (4') так же, как и в нерелятивистском случае.

7. Ширина барьера и условие применимости ММВ. Вероятность туннелирования связана с шириной барьера b . Полагая $t = 0$ в формулах (1), (15) и (20), находим

$$b = \frac{m}{e\mathcal{E}} d(\epsilon_0, \rho) = \frac{F_{cr}}{\mathcal{E}} d(\epsilon_0, \rho) \lambda_c, \quad (37)$$

где $\lambda_c = \hbar/mc$, причем $d = 1 - \epsilon_0$ в случае чисто электрического поля, а для скрещенных полей

$$d = \frac{3\xi^2}{2\sqrt{1+\xi^2}} = \frac{3}{8} \left(\sqrt{\epsilon_0^2 + 8} - 3\epsilon_0 \right), \quad \rho = 1. \quad (38)$$

В более общем случае (20) имеем

$$d(\epsilon_0, \rho) = \frac{\rho^2 \epsilon_0 \tau_0 \operatorname{th}(\tau_0/2)}{1 - \rho^2 \tau_0 \operatorname{cth} \tau_0}, \quad (39)$$

где τ_0 определяется из уравнений (21) или (23). С ростом магнитного поля ширина барьера увеличивается, поэтому в данной задаче формула теории возмущений (31) применима при всех значениях параметра γ (в отличие от многофотонной ионизации [1–3], где b уменьшается пропорционально γ^{-1} при $\gamma \gg 1$). При этом в области $\rho \geq 1$, где доминирует электрическое поле, зависимость от $\rho = \mathcal{E}/\mathcal{H}$ незначительна:

$$\frac{d(\epsilon_0, \rho = 1)}{d(\epsilon_0, \rho = \infty)} = \begin{cases} 1 + \frac{1}{18}(1 - \epsilon_0) + \dots, & \epsilon_0 \rightarrow 1, \\ 3 \cdot 2^{-3/2} = 1.061, & \epsilon_0 = 0, \\ 1.125, & \epsilon_0 = -1. \end{cases} \quad (40)$$

При $E_b \sim m$ средний радиус связанного состояния $\langle r \rangle \sim \lambda_c \sqrt{1 - \epsilon_0^2}$ и $b/\langle r \rangle \sim F_{cr}/\mathcal{E} \gg 1$, что обеспечивает применимость ММВ.

При наличии кулоновского взаимодействия данная выше оценка для $\langle r \rangle$ перестает быть справедливой, когда $\epsilon_0 \rightarrow -1$. Однако и в этом случае связанное состояние на краю нижнего континуума остается локализованным, причем $\langle r \rangle \sim \lambda_c$. Так, для основного уровня $1s_{1/2}$ в кулоновском поле $V(r) = -Z\alpha/r$ имеем [16–18]

$$\langle r \rangle = \frac{(1 + 0.3\zeta^2)(\zeta^2 - 3/4)}{\zeta^2(\zeta^2 - 3/4)} \lambda_c \approx \frac{1}{3} \lambda_c, \quad (41)$$

где $\zeta = Z_{cr}\alpha$, а Z_{cr} — критический заряд ядра, при котором основной уровень электронного спектра опускается до границы нижнего континуума ($Z_{cr} = 169 \div 173$ и $\zeta^2 = 1.52 \div 1.59$ в зависимости от того, является ли ядро голым или внешние электронные оболочки заполнены).

Для нерелятивистских связанных состояний $\epsilon_0 = 1 - \alpha^2 \kappa^2 / 2 \rightarrow 1$, $d = (\alpha \kappa)^2 / 2 \ll 1$ и ширина барьера равна

$$b(\mathcal{E}) = \frac{1}{2} \kappa^2 \frac{\mathcal{E}_a}{\mathcal{E}} a_B, \quad a_B = (m\alpha)^{-1}, \quad (42)$$

где a_B — радиус Бора. Для нейтральных атомов $\langle r \rangle \sim \kappa^{-2}$ ($\kappa \sim 1/n$, n — главное квантовое число), для отрицательных ионов $\langle r \rangle \sim \kappa^{-1}$. В итоге, $b/\langle r \rangle \sim \epsilon^{-1} \gg 1$.

8. Гамильтонов метод. Возможен несколько иной подход к проблеме туннелирования релятивистских частиц, который мы проиллюстрируем на примере скрещенных полей, $\mathcal{E} = \mathcal{H}$. Интегралами движения (в калибровке (13)) являются

$$P_x, P_z \text{ и } H = \sqrt{m^2 + (P_x + e\mathcal{E}y)^2 + P_y^2 + P_z^2} - e\mathcal{E}y = E_0, \quad (43)$$

где H — гамильтониан, E_0 — начальная энергия уровня, \mathbf{P} — обобщенный импульс (для экстремальной траектории $P_z = 0$), $P_y^2 = E_0^2 - m^2 - P_x^2 - 2e\mathcal{E}(E_0 - P_x)y$. Тем самым задача о туннелировании свелась к одномерной, поэтому с экспоненциальной точностью

$$w \propto \exp \left\{ -2 \int_0^{y_0} \sqrt{-P_y^2} dy \right\} = \exp \left(-\frac{2m^2}{e\mathcal{E}} J \right), \quad (44)$$

где y_0 — точка поворота и

$$J = \frac{(q^2 + 1 - \epsilon_0^2)^{3/2}}{3|q - \epsilon_0|}. \quad (45)$$

Минимизация функции $J(q, \epsilon_0)$ по переменной q эквивалентна выделению из всего пучка подбарьерных траекторий экстремальной траектории. Имеются две точки минимума,

$$q_{\pm} = \frac{1}{4} \left(3\epsilon_0 \mp \sqrt{\epsilon_0^2 + 8} \right),$$

из которых q_+ отвечает ионизации электронного уровня:

$$J(q_+, \epsilon_0) = \frac{\sqrt{3} \xi^3}{1 + \xi^2}, \quad \xi = \sqrt{(q_+ - \epsilon_0)^{-2} - 1}, \quad (46)$$

что полностью совпадает с (16), (17).

Для вычисления предэкспоненты P запишем асимптотику невозмущенной волновой функции s -уровня в виде

$$\psi_0(r) \approx A \sqrt{\frac{\mu}{2\pi}} \frac{\exp(-\mu r)}{r} = \frac{A_\kappa \sqrt{\mu}}{2^{3/2} \pi^{5/2}} \int \frac{\exp(i\mathbf{p}\mathbf{r})}{p^2 + \mu^2} d^3 p, \quad r \gg R, \quad (47)$$

где $\mu = m\sqrt{1 - \epsilon_0^2}$, R — радиус действия сил (потенциал, связывающий s -уровень, предполагается короткодействующим) и мы не учитываем спин частицы. Вблизи оси y (направление электрического поля) представим ψ_0 в виде

$$\psi_0 \approx \frac{A_\kappa}{(2\pi)^{3/2}} \int \frac{d^2 p_\perp}{\sqrt{|p_y|}} \exp(-|p_y|y + i\mathbf{p}_\perp \boldsymbol{\rho}), \quad (48)$$

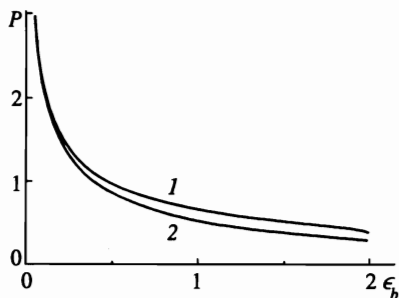


Рис. 4. Предэкспоненциальный множитель P в зависимости от энергии связи уровня: 1 — в случае одного электрического поля; 2 — для скрещенных полей

удобным для сшивания с квазиклассическим решением уравнения Клейна–Гордона во внешнем поле, если \mathbf{p}_\perp является интегралом движения (здесь $y \approx r \gg \rho$, $|p_y| \approx \mu(1 + p_\perp^2/2\mu^2)$, а ρ и \mathbf{p}_\perp — двумерные векторы в плоскости xz). Продолжая (48) через точку поворота y_0 и вычисляя поток частиц при $y \rightarrow \infty$, получаем

$$w = \frac{A_\kappa^2}{\sqrt{4\pi}} \int \frac{dP_x}{\sqrt{J_1(P_x)}} \exp \left\{ -\frac{2(\mu^2 + P_\perp^2)^{3/2}}{3e\mathcal{E}(E_0 - P_x)} \right\}, \tag{49}$$

где $P_\perp = (P_x, P_z)$,

$$J_1(P_x) = \int_0^{y_0} \frac{dy}{\sqrt{\mu^2 + P_x^2 - 2e\mathcal{E}(E_0 - P_x)y}} = \frac{\sqrt{\mu^2 + P_x^2}}{e\mathcal{E}(E_0 - P_x)} \tag{48'}$$

и $E_0 - P_x > 0$. Разлагая здесь по P_\perp^2 и применяя метод перевала, приходим к формуле типа (6) для w , в которой экспоненту следует заменить на (17), а $1/\arccos \epsilon_0$ в предэкспоненте — на функцию

$$P(\epsilon_0, \rho = 1) = \left(\xi \sqrt{\xi^2 + 3} \right)^{-1}. \tag{50}$$

Зависимости предэкспоненты P от энергии ϵ_0 в этих двух случаях имеют близкий вид, см. рис. 4. В нерелятивистском пределе $P(\epsilon_0, \rho) = 1/\alpha\kappa + \dots$ при любом $\rho > 0$.

Гамильтонов подход можно применять к полям более сложной конфигурации, однако этот вопрос выходит за рамки данной статьи.

9. Замечание об эффекте Унру. Уже более двадцати лет известно утверждение о том, что с точки зрения наблюдателя, движущегося по прямой с постоянным собственным ускорением g (вследствие действия на него силы негравитационного происхождения), обычное вакуумное состояние в пространстве Минковского оказывается смешанным состоянием и описывается тепловой матрицей плотности с эффективной температурой Фуллингa–Унру [8, 29, 30]

$$T = \hbar g / 2\pi c. \tag{51}$$

Это утверждение получило в литературе название эффекта Унру (см. [31–33] и указанные там ссылки). Фольклорным стало пояснение, что данный эффект обязан тому, что в

системе покоя риндлеровского (т. е. равноускоренного) наблюдателя метрика⁵⁾

$$ds^2 = \rho^2 d\sigma^2 - d\rho^2 - dy^2 - dz^2, \quad -\infty < \sigma < \infty, \quad 0 \leq \rho < \infty \quad (52)$$

имеет горизонт. Поэтому риндлеровскому наблюдателю недоступна часть информации инерциального наблюдателя (относительно которого определяется вакуум Минковского), что и приводит к появлению смешанного состояния.

Недавно, однако, были выдвинуты аргументы [9] против существования эффекта Унру, суть которых сводится к следующему. Свободное квантованное (скалярное) поле φ в пространстве Риндлера должно обращаться в нуль не только при $\rho \rightarrow \infty$, но также и при $\rho \rightarrow 0$, т. е. удовлетворять граничному условию $\varphi(\rho, \sigma)|_{\rho=0} = 0$ (которое соответствует непроницаемой стенке при $\rho = 0$, т. е. на границе многообразия Риндлера). А это означает, что задачи о квантовании поля φ в пространствах Риндлера и Минковского совершенно различны (см. формулы (18)–(20) в работе [9]).

Наблюдаемым проявлением эффекта Унру являлось бы больцмановское распределение $p_n \propto \exp(-E_n/T)$ по энергетическим уровням равноускоренного детектора. Рассмотрим с этой точки зрения процесс ионизации тяжелого атома в постоянном и однородном электрическом поле \mathcal{E} . При этом собственное ускорение g детектора (т. е. в данном случае атома или иона) постоянно, поскольку продольная компонента электрического поля не меняется при преобразованиях Лоренца:

$$g = \frac{Z-1}{A} \frac{\mathcal{E}}{\mathcal{E}_a} g_0, \quad g_0 = \frac{m^2 e^6}{\hbar^4 m_p} = 4.93 \cdot 10^{21} \text{ см} \cdot \text{с}^{-2}. \quad (53)$$

Здесь, как и выше (п. 6), через Z мы обозначаем заряд «атомного остова», получающегося из атома (иона) при удалении одного электрона, $A = M/m_p$, а $m \equiv m_e, m_p$ и M — массы электрона, протона и атома. Для температуры (51) получаем

$$T = \frac{|Z-1|}{A} \frac{\mathcal{E}}{\mathcal{E}_a} T_0, \quad (54)$$

где $\mathcal{E}_a = m^2 e^5 / \hbar^4 = 5.14 \cdot 10^9$ В/см, $T_0 = m^2 e^4 / \hbar^2 m_p = 1.72 \cdot 10^{-5}$ эВ (например, при $\mathcal{E} = \mathcal{E}_a$ и $A \approx 200$ температура $T \approx 10^{-7}$ эВ $\approx 10^{-3}$ К).

В силу принципа детального равновесия вероятность ионизации атома, находящегося в тепловой бане при температуре (54), равна

$$w^{(T)} \propto \exp\left(-\frac{\kappa^2}{2T}\right). \quad (55)$$

С другой стороны, согласно квантовой механике вероятность ионизации атомного уровня есть⁶⁾

⁵⁾ Так называемая метрика Риндлера [34], при этом $x = \rho \text{ ch } \sigma$, $t = \rho \text{ sh } \sigma$. Отметим, что переход от глобальных координат x, t к риндлеровским координатам ρ, σ является преобразованием, сингулярным при $\rho = 0$ (что соответствует вершине светового конуса, $x = t = 0$, в плоском 1+1-мерном пространстве-времени).

⁶⁾ Здесь мы перешли к атомным единицам и отвлекаемся от предэкспоненциальных множителей в (55) и (56), поскольку эти формулы различаются между собой уже в экспоненте.

$$w^{(i)}(\mathcal{E}, \kappa) \propto \exp\left(-\frac{2\kappa^5}{3\mathcal{E}}\right) = \exp\left(-k\frac{\kappa^3}{T}\right), \quad (56)$$

где $E_b = \kappa^2/2$ — энергия связи уровня, а k — чрезвычайно малый коэффициент:

$$k = \frac{\alpha}{3\pi} \frac{|Z-1|m}{A m_p} \simeq 2 \cdot 10^{-9}. \quad (57)$$

Сравнение (55) и (56) показывает, что (56) не является универсальным больцмановским распределением, поскольку даже зависимость от κ (т. е. от энергии уровня) в этих двух формулах функционально различна.

Рассмотрим мысленный эксперимент. Как известно [19], под действием постоянного ускорения g классическая частица движется по траектории:

$$x = x_0 + \frac{c^2}{g} \left(\sqrt{1+u^2} - \sqrt{1+u_0^2} \right), \quad t = t_0 + \frac{c}{g}(u - u_0),$$

$$v = \frac{cu}{\sqrt{1+u^2}}, \quad s = \frac{c}{g}(\text{Arsh } u - \text{Arsh } u_0)$$

(t — лабораторное время, s — собственное время). Вследствие ионизации атом (ион) изменяет свой заряд ($Z \rightarrow Z+1$) в моменты $s = s_0, s_1, s_2, \dots$, причем $s_0 = \tau_0, s_1 - s_0 = \tau_1, s_2 - s_1 = \tau_2$ и т. д., $\tau_k = 1/w_k^{(i)}(\mathcal{E}, \kappa_k)$, и соответственно меняется его собственное ускорение g_k . Движение атома после N -кратной ионизации задается уравнениями

$$x = l_N + \frac{c^2}{g_N}(\text{ch } \theta - \text{ch } \theta_N), \quad t = t_N + \frac{c}{g_N}(\text{sh } \theta - \text{sh } \theta_N), \quad \theta > \theta_N,$$

где $\theta = \ln(u + \sqrt{1+u^2})$ — быстрота, l_N и t_N — соответственно суммарные пробег и время (для неподвижного наблюдателя) до момента N -кратной ионизации⁷⁾:

$$l_N = \sum_{k=1}^N \Delta l_k = \sum_{k=0}^{N-1} \frac{c^2}{g_k}(\text{ch } \theta_{k+1} - \text{ch } \theta_k), \quad t_N = \sum_{k=0}^{N-1} \frac{c}{g_k}(\text{sh } \theta_{k+1} - \text{sh } \theta_k), \quad (58)$$

$$v_N = c \text{th } \theta_N, \quad s_N = \sum_{k=0}^N \tau_k, \quad \theta_k = \theta_0 + \frac{1}{c} \sum_{j=0}^{k-1} g_j \tau_j,$$

Δl_k — пробег k -го иона и θ_0 соответствует начальной скорости атома. Используя квазиклассическую формулу для вероятности ионизации в электрическом поле \mathcal{E} , получаем (с точностью до константы порядка единицы)

$$\frac{g_k \tau_k}{c} \approx 4 \cdot 10^{-6} \frac{|Z-1|}{A} \left(\frac{\mathcal{E}}{\mathcal{E}_a} \right)^{2\eta_k} \exp\left(\frac{2\kappa_k^3 \mathcal{E}_a}{3\mathcal{E}} \right), \quad (59)$$

где $\eta_k = Z_k/\kappa_k$ — параметр Зоммерфельда для подбарьерного движения электрона.

⁷⁾ Для нейтрального атома на k -м участке траектории соответствующие слагаемые в (58) нужно заменить на $\Delta l_k = c\tau_k \text{sh } \theta_k$ и $\Delta t_k = \tau_k \text{ch } \theta_k$.

Таблица 2

Последовательные стадии процесса ионизации (при $\mathcal{E} = 0.02\mathcal{E}_a \approx 10^8$ В/см)

| | Атом или ион | | | | | |
|--------------------|--------------|----------------|-----------------|-----------------|----------|-----------------|
| | U | U ⁺ | U ⁺² | Fe ⁻ | Fe | Fe ⁺ |
| I_k , эВ | 6.194 | 11.9 | 20 | 0.398 | 7.900 | 16.19 |
| κ_k | 0.674 | 0.935 | 1.2 | 0.171 | 0.762 | 1.091 |
| Z_k | 1 | 2 | 3 | 0 | 1 | 2 |
| $\tau_k^{(i)}$, с | 7.4(-16) | 5.5(-12) | 1.3 | 2.4(-16) | 6.5(-14) | 1.8(-4) |
| θ_k | 0 | 7.6(-5) | 3.6(7) | -1.4(-8) | -1.4(-8) | 1.1(4) |
| Δl_k , см | 0 | 6.2(-6) | ∞ | 5.1(-14) | 4.2(2) | ∞ |

Примечание. Времена жизни $\tau_k \equiv \tau_k^{(i)}$ рассчитаны по формуле (13) из [6], потенциалы ионизации I_k взяты из справочника [35].

В табл. 2 приведены оценки времен жизни $\tau_k = 1/w_k^{(i)}$ в сопутствующей системе отсчета и пробегов Δl_k для двух характерных случаев: при $t = 0$ имеется нейтральный атом урана либо отрицательный ион железа (считаем $\theta_0 = 0$ — вначале атом покоится). Отметим, что Fe⁻ и Fe движутся в сторону, противоположную полю \mathcal{E} (поэтому первые два параметра θ_k имеют отрицательный знак), а положительный ион Fe⁺ сначала тормозится электрическим полем, а уже потом ускоряется вдоль \mathcal{E} . Из табл. 2 видно, что с ростом степени ионизации возрастают значения параметров κ_k , что приводит (см. экспоненту в (59)) к резкому увеличению времени жизни τ_k . Пробеги Δl_k возрастают еще быстрее, так как помимо увеличения времени жизни на них сказывается также релятивистское замедление времени:

$$s \sim \frac{c}{g} \ln \frac{gt}{c}, \quad \Delta l_k \sim \exp \theta_k \quad (60)$$

при $\theta_k \gg 1$. Поэтому при заданном поле достижима лишь небольшая степень ионизации. Например, для двухзарядного иона урана U⁺² при $\mathcal{E} = 0.02\mathcal{E}_a$ пробег $\Delta l_2 \sim \sim \exp(1.8 \cdot 10^7)$ см (!), что, разумеется, означает лишь, что этот ион всегда останется стабильным (в данном поле \mathcal{E}).

С другой стороны, эффект Унру дает для времени жизни величину $\tau^{(T)} = 1/w^{(T)}$, что для нейтрального атома урана составляет $\sim \exp(3 \cdot 10^9)$ с при $\mathcal{E} = 0.02\mathcal{E}_a$ и столь же огромные величины в остальных случаях⁸⁾. Таким образом, время «тепловой» ионизации атома (детектора) неизмеримо больше, чем время его разрушения электрическим полем. Утверждение Унру [8] относится к детекторам любой природы, поэтому рассмотренный выше мысленный эксперимент является противоречащим ему контрпримером.

До сих пор мы рассматривали нерелятивистский случай, $E_b \ll m$. Не вдаваясь в достаточно тонкий вопрос о квантово-полевоом описании релятивистских связанных состояний, заметим, что если при $E_b = m(1 - \epsilon_0) \sim m$ использовать формулу (6), то вместо (56) получаем

⁸⁾ Чудовищное различие между временами $\tau^{(i)}$ и $\tau^{(T)}$ объясняется малостью коэффициента k , входящего в экспоненту (56).

$$w^{(i)} \propto \exp \left\{ -\frac{E_b}{T} f(E_b) \right\}, \quad (61)$$

где $f(E_b) = (m/2\pi M)\Phi(\epsilon_0)/(1 - \epsilon_0)$. Утверждению Унру отвечало бы $f(E_b) \equiv 1$, что очевидным образом не выполняется.

Следует отметить, что Никишовым и Ритусом [36] было показано, что если в качестве детектора рассматривать элементарные частицы, то энергетический спектр их излучения, вообще говоря, не соответствует универсальному закону Унру. Тяжелый атом, для которого применимо квазиклассическое рассмотрение, в значительно большей мере удовлетворяет физическим требованиям, предъявляемым к детектору. Как видно из предыдущего, ускоряющее атом электрическое поле разрушает сам детектор, предназначенный для регистрации теплового излучения в сопутствующей системе отсчета.

Заключение. В статье развито обобщение ММВ на релятивистский случай. Вычисление подбарьерных траекторий, удовлетворяющих классическим уравнениям движения (однако с мнимым временем t и потому невозможных в классической физике) позволяет использовать хорошо развитый аппарат аналитической механики и найти как экспоненту, так и кулоновский и предэкспоненциальный факторы в вероятности ионизации уровня, энергия связи которого произвольна ($0 < E_b < 2mc^2$), под действием электрического и магнитного полей. Полученные формулы охватывают, в качестве предельных случаев, как теорию ионизации нерелятивистских связанных систем (атомы, ионы), так и случай $E_b = 2mc^2$ (уровень на границе нижнего континуума, $Z = Z_{cr}$), когда эта вероятность сравнима по величине с вероятностью рождения электрон-позитронных пар из вакуума во внешнем поле. Отметим, что ММВ уже применялся ранее в задаче о нестабильности вакуума и рождении пар в сильном поле в квантовой электродинамике [24], а также в случае неабелевой калибровочной теории [37].

Выше рассматривалась система двух частиц с сильно различающимися массами (примером может служить электрон в поле тяжелого ядра). Возможность применения ММВ к релятивистским системам, состоящим из частиц с соизмеримыми массами ($q\bar{q}$, qqq и др.), остается открытой.

Авторы благодарны участникам теоретических семинаров ИТЭФ и МИФИ за интересные обсуждения, С. Г. Позднякову за помощь в численных расчетах, а также М. Н. Маркиной за помощь в оформлении статьи. Работа выполнена при частичной поддержке Российского фонда фундаментальных исследований (гранты № 95-02-05417 и № 98-02-17 007).

ПРИЛОЖЕНИЕ А

Входящая в (26) функция g_1 равна

$$g_1(\gamma) = \frac{3\tau_0}{8\gamma^5} \frac{s^4 - 3s^3 - (s^3 - 6s^2 + 6s)\gamma^2 - (s-2)\gamma^4}{s^2 - (s-2)\gamma^2}, \quad (A.1)$$

где $s = 1 - (\tau_0/\text{sh } \tau_0)^2$, а $\tau_0 = \tau_0(\gamma)$ определяется из уравнения (28). Учитывая разложения

$$s = \frac{1}{2}\tau_0^2 - \frac{1}{15}\tau_0^4 + \dots = \frac{1}{3}\gamma^2 \left(1 - \frac{4}{45}\gamma^2 - \frac{8}{2835}\gamma^4 + \dots \right), \quad \gamma \rightarrow 0, \quad (A.2)$$

$$s = 1 - 4\tau_0^2 e^{-2\tau_0} + \dots = 1 - \exp[-(\gamma^2 + 1)] \gamma^4 (1 + 2\gamma^{-2} + \gamma^{-4} + \dots), \quad \gamma \rightarrow \infty, \quad (\text{A.3})$$

приходим к следующим асимптотикам:

$$g(\gamma) = 1 + \frac{1}{30}\gamma^2 + \frac{11}{7560}\gamma^4 + \dots, \quad g_1(\gamma) = \frac{3}{40} \left(1 - \frac{11}{378}\gamma^2 + \dots \right), \quad \gamma \rightarrow 0, \quad (\text{A.4})$$

$$g(\gamma) = \frac{3}{8}\gamma(1 + 2\gamma^{-2} + \gamma^{-4} + \dots), \quad g_1(\gamma) = \frac{3}{16\gamma}(1 - \gamma^{-2} - 2\gamma^{-4} + \dots). \quad (\text{A.5})$$

В обоих случаях $g_1(\gamma) \ll g(\gamma)$, что подтверждается также численным счетом (см. рис. 3) и выполняется при всех γ .

ПРИЛОЖЕНИЕ В

Обсудим вопрос об области применимости приближения (29). Определяя параметр κ по соотношению⁹⁾ $\epsilon_0 = E_0/m = 1 - \alpha^2 \kappa^2/2$, имеем

$$\kappa = \alpha^{-1} \sqrt{2(1 - \epsilon_0)}, \quad \alpha = e^2/\hbar c = 1/137. \quad (\text{B.1})$$

Экспоненциальный множитель в (29) можно переписать в виде, аналогичном (24):

$$w(\mathcal{E}, \mathcal{H}) \propto \exp \left\{ -\frac{F_{cr}}{\mathcal{E}} \tilde{\Phi}(\epsilon_0, \rho) \right\}, \quad (\text{B.2})$$

где

$$\tilde{\Phi} = \frac{\sqrt{32}}{3} \epsilon_b^{3/2} \left[1 - \frac{3}{20} \left(1 - \frac{4}{9\rho^2} \right) \epsilon_b \right], \quad \epsilon_b = 1 - \epsilon_0. \quad (\text{B.3})$$

Это простое приближение имеет высокую точность даже в случае достаточно глубоких уровней; см. табл. 1, в которой δ — относительная ошибка выражения (B.3):

$$\delta \equiv \delta(\epsilon_0, \rho) = (\Phi - \tilde{\Phi})/\Phi. \quad (\text{B.4})$$

Сравнение формул (29) и (30) показывает, что при $\rho \rightarrow 0$ меняется степень поля \mathcal{E} , поэтому приближение (29) неприменимо при $\mathcal{H} \gg \mathcal{E}$. Если же $\rho = \mathcal{E}/\mathcal{H} \gtrsim 0.5$, то область применимости формулы (29), полученной в нерелятивистском ($\kappa \lesssim 1$) пределе, «затягивается» вплоть до энергий $E_0 \approx -0.5mc^2$, т. е. до значений $\kappa \sim 200$ (см. табл. 1). Естественно, что формула (29) перестает быть применимой, когда уровень приближается к границе нижнего континуума; в этом случае ошибка составляет уже десятки процентов. Так, $\delta = 0.123$ и -0.188 соответственно для $\rho = 1$ и ∞ (при $\epsilon_0 = -1$).

ПРИЛОЖЕНИЕ С

Здесь мы рассмотрим вычисление кулоновской поправки (31).

⁹⁾ При любой энергии уровня E_0 . В нерелятивистском случае $E_0 = mc^2 - \kappa^2 me^4/2\hbar^2$ и $\kappa \sim 1$, см. табл. 1 в работе [6].

а) В случае электрического поля, записывая экстремальную ($p_{\perp} = 0$) траекторию в виде

$$z = \frac{m}{e\mathcal{E}}(\cos \varphi - \cos \varphi_0), \quad 0 < \varphi < \varphi_0 = \arccos \epsilon_0, \quad (C.1)$$

используем значение интеграла

$$J(\varphi, \varphi_0) = \int_0^{\varphi} \frac{\cos \varphi d\varphi}{\cos \varphi - \cos \varphi_0} = \varphi + \operatorname{ctg} \varphi_0 \ln \left[\frac{\sin [(\varphi_0 + \varphi)/2]}{\sin [(\varphi_0 - \varphi)/2]} \right]. \quad (C.2)$$

При $\varphi \rightarrow \varphi_0$

$$J(\varphi, \varphi_0) = -a \ln(\varphi_0 - \varphi) + a_0 + a_1(\varphi_0 - \varphi) + \dots, \quad (C.3)$$

где $a = \operatorname{ctg} \varphi_0$, $a_0 = \varphi_0 + \operatorname{ctg} \varphi_0 \ln(2 \sin \varphi_0)$, ... Учитывая также, что $\eta = Z\alpha \operatorname{ctg} \varphi_0$,

$$z(t) = i\sqrt{1 - \epsilon_0^2} \epsilon_0^{-1}(t - t_0) + \dots = \frac{m}{e\mathcal{E}}(\varphi_0 - \varphi) \sin \varphi_0 + \dots, \quad t \rightarrow t_0,$$

$$\mu z_1 = (F_{cr}/\mathcal{E})(\varphi_0 - \varphi_1) \sin^2 \varphi_0 + \dots,$$

находим

$$\eta \ln(\mu z_1) + iZ\alpha \int_{t_1}^0 \frac{dt}{z(t)} = \eta \left\{ \varphi_0 \operatorname{tg} \varphi_0 + \ln \left[\frac{F_{cr} (\varphi_0 - \varphi_1) \sin^3 \varphi_0}{\mathcal{E} \sin [(\varphi_0 - \varphi_1)/2]} \right] \right\}. \quad (C.4)$$

Полагая здесь $\varphi_1 \rightarrow \varphi_0$ (при этом точка сшивания $z_1 = z(t_1)$ выпадает из ответа), приходим к формуле (32).

В нерелятивистском пределе из (6), (32) следует (34). Если же $\epsilon_0 = 0$, то $\eta = 0$ и $Q = \exp(\pi Z\alpha) = 21.1$ при $Z = 137$ (с учетом конечных размеров ядра значения Z и Q при $E(1s_{1/2}) = 0$ еще несколько возрастают [17, 18]).

б) Для скрещенных полей кулоновский интеграл (31) также выражается в элементарных функциях:

$$\int_0^{\varphi} \frac{d\varphi}{a^2 - \sin^2 \varphi} = \frac{1}{\sin 2\varphi_0} \ln \frac{\sin(\varphi_0 + \varphi)}{\sin(\varphi_0 - \varphi)}, \quad (C.5)$$

где $u = 3 \sin \varphi$, $a = u_0/3 = \xi/\sqrt{3}$ и $\varphi_0 = \arcsin a$.

Учитывая, что в начале подбарьерного движения

$$r_1 = \frac{\sqrt{3}m}{e\mathcal{E}} \frac{\xi(3 - \xi^2)}{\sqrt{1 + \xi^2}}(\varphi_0 - \varphi_1) + \dots, \quad \varphi_1 \rightarrow \varphi_0, \quad (C.6)$$

и значение интеграла (C.5), приходим к (35).

3) В случае взаимно перпендикулярных полей из (36) вытекает, что

$$r_0 = (\tau_0 - \tau) \frac{m a \rho \tau_0}{e\mathcal{H}(1 - \rho^2)^{3/2}} \sqrt{1 - \rho^2 \left(\frac{1}{\tau_0} - \operatorname{cth} \tau_0 \right)^2} + \dots, \quad \tau \rightarrow \tau_0$$

(считаем $\rho < 1$). Обозначая через J_s сингулярную часть интеграла (31), имеем

$$J_s = Z\alpha \int_{\tau_1} \frac{A}{\tau - \tau_0} d\tau, \quad A = \frac{1 - \rho^2 \tau_0 \operatorname{cth} \tau_0}{\rho \tau_0 \sqrt{1 - \rho^2 - (\tau_0^{-1} - \operatorname{cth} \tau_0)^2}}. \quad (\text{C.7})$$

Здесь τ_0 определяется уравнением (25), из которого находим

$$\frac{1}{\sqrt{\epsilon_0^{-2} - 1}} = \frac{1 - \rho^2 \tau_0 \operatorname{cth} \tau_0}{\rho [2\tau_0 \operatorname{cth} \tau_0 - 1 - (\tau_0 / \operatorname{sh} \tau_0)^2 - \rho^2 \tau_0^2]^{1/2}} \equiv A. \quad (\text{C.8})$$

Отсюда $\eta = Z\alpha A$ и $J_s = -\eta \ln(\tau_1 - \tau_0) + O(1)$. В итоге в (31) возникает слагаемое $\ln[\mu r_1 / (\tau_1 - \tau_0)]$, имеющее конечный предел при $\tau_1 \rightarrow \tau_0$. После некоторых вычислений получаем регуляризованное выражение для кулоновской поправки:

$$Q = \exp \left\{ 2\eta \left[\ln \left(\frac{m^2}{e^{\mathcal{E}}} \frac{1 - \epsilon_0^2}{\epsilon_0} \right) + \int_0^{\tau_0} \left(\varphi(\tau) - \frac{1}{\tau_0 - \tau} \right) d\tau \right] \right\}, \quad (\text{C.9})$$

$$\varphi(\tau) = \frac{1}{\rho \tau_0} \left(1 - \rho^2 \tau_0 \frac{\operatorname{ch} \tau}{\operatorname{sh} \tau_0} \right) \left[(1 - \rho^2) \left(\frac{\operatorname{ch} \tau_0 - \operatorname{ch} \tau}{\operatorname{sh} \tau_0} \right)^2 - \left(\frac{\operatorname{sh} \tau}{\operatorname{sh} \tau_0} - \frac{\tau}{\tau_0} \right)^2 \right]^{-1/2}, \quad (\text{C.10})$$

в котором полюсные особенности взаимно сокращаются, и интеграл нетрудно найти численно. Этот пример показывает, что исключение точки сшивания r_1 в (31) иногда связано с довольно громоздкими преобразованиями, однако оно всегда может быть сделано, если выполняется условие $\langle r \rangle \ll b$.

Литература

1. А. М. Переломов, В. С. Попов, М. В. Терентьев, ЖЭТФ 51, 309 (1966).
2. В. С. Попов, В. П. Кузнецов, А. М. Переломов, ЖЭТФ 53, 331 (1967).
3. А. И. Базь, Я. Б. Зельдович, А. М. Переломов, *Рассеяние, реакции и распады в нерелятивистской квантовой механике*, Наука, Москва (1971).
4. В. С. Попов, А. В. Сергеев, Письма в ЖЭТФ 63, 398 (1996).
5. V. S. Popov, V. M. Karnaikov, and V. D. Mur, Phys. Lett. A 229, 306 (1997).
6. В. С. Попов, Б. М. Карнаков, В. Д. Мур, ЖЭТФ 113, 1579 (1998).
7. Б. М. Карнаков, В. Д. Мур, В. С. Попов, Письма в ЖЭТФ 65, 391 (1997).
8. W. G. Unruh, Phys. Rev. D 14, 870 (1976).
9. В. А. Белинский, Б. М. Карнаков, В. Д. Мур, Н. Б. Нарожный, Письма в ЖЭТФ 65, 861 (1997); 67, 87 (1998).
10. В. С. Попов, В. Д. Мур, Б. М. Карнаков, Письма в ЖЭТФ 66, 213 (1997); Preprint ИТЕР No. 44, Moscow (1997).
11. J. Schwinger, Phys. Rev. 82, 664 (1951).
12. С. Itzykson and J. B. Zuber, *Quantum Field Theory*, Vol. 1, Mc Graw-Hill, New York (1980).
13. Ю. Н. Демков, Г. Ф. Друкарев, ЖЭТФ 47, 918 (1964).
14. Л. Д. Ландау, Е. М. Лифшиц, *Квантовая механика*, Наука, Москва (1974).
15. W. Pfenner and W. Greiner, Z. Phys. 218, 327 (1969).

16. В. С. Попов, Письма в ЖЭТФ **11**, 254 (1970); ЯФ **12**, 429 (1970).
17. Я. Б. Зельдович, В. С. Попов, УФН **105**, 403 (1971).
18. W. Greiner, V. Müller, and J. Rafelski, *Quantum Electrodynamics of Strong Fields*, Springer, Berlin (1985).
19. Л. Д. Ландау, Е. М. Лифшиц, *Теория поля*, Наука, Москва (1988).
20. С. П. Андреев, В. А. Полунин, Письма в ЖЭТФ **42**, 154 (1985).
21. V. Bargmann, L. Michel, and V. L. Telegdi, Phys. Rev. Lett. **2**, 435 (1959).
22. М. С. Маринов, В. С. Попов, ЯФ **15**, 1271 (1972); M. S. Marinov and V. S. Popov, Fortschr. Physik **25**, 373 (1977).
23. В. С. Ваняшин, М. В. Терентьев, ЖЭТФ **48**, 565 (1965).
24. В. С. Попов, Письма в ЖЭТФ **13**, 261 (1971); ЖЭТФ **61**, 1334 (1971).
25. Г. Ф. Друкарев, Б. С. Монозон, ЖЭТФ **61**, 956 (1971).
26. W. R. Smythe, *Static and Dynamic Electricity*, Mc Graw-Hill, New York (1950) (перевод: В. Смайт, *Электростатика и электродинамика*, ИИЛ, Москва (1954)).
27. В. В. Батыгин, И. Н. Топтыгин, *Сборник задач по электродинамике*, Физматгиз, Москва (1962), с. 394.
28. А. М. Переломов, В. С. Попов, ЖЭТФ **52**, 514 (1967).
29. S. A. Fulling, Phys. Rev. D **7**, 2850 (1973).
30. P. C. W. Davies, J. Phys. A **8**, 609 (1975).
31. N. D. Birrell and P. C. Davies, *Quantum Fields in Curved Space*, Cambridge University Press (1982).
32. В. Л. Гинзбург, В. П. Фролов, УФН **153**, 633 (1987).
33. Я. Б. Зельдович, Л. В. Рожанский, А. А. Старобинский, Письма в ЖЭТФ **43**, 407 (1986).
34. W. Rindler, Amer. J. Phys. **34**, 1174 (1966).
35. А. А. Радциг, Б. М. Смирнов, *Параметры атомов и атомных ионов*, Энергоатомиздат, Москва (1986).
36. А. И. Никишов, В. И. Ритус, ЖЭТФ **94**, 31 (1988).
37. Ш. С. Агаев, А. С. Вшивцев, В. Ч. Жуковский, ЯФ **36**, 1023 (1982).